

## 중급 지방산의 항진균 활성과 진균의 Plasma Membrane H<sup>+</sup>-ATPase에 대한 저해작용

이상화 · 김창진\*

생명공학연구소

**Antifungal Activity of Medium-chain Saturated Fatty Acids and Their Inhibitory Activity to the Plasma Membrane H<sup>+</sup>-ATPase of Fungi.** Lee, Sang-Hwa and Chang-Jin Kim\*. Korea Research Institute of Bio-science and Biotechnology, P.O. Box 115, Yusong, Taejon 305-600, Korea – In order to know the antifungal characteristics of saturated fatty acids having 6 to 12 carbons, their minimum inhibitory concentrations (MICs) and minimum fungicidal concentrations (MFCs) were estimated against *Saccharomyces cerevisiae*. Fatty acids from C<sub>6</sub> to C<sub>11</sub> exhibited increasing activity with chain length, but C<sub>12</sub> fatty acid did not show activity at all. In relation to antifungal modes of actions, fatty acids investigated showed on inhibitory activity toward the plasma membrane H<sup>+</sup>-ATPase of *Saccharomyces cerevisiae*. Their inhibitions to the glucose-induced acidification and ATP hydrolysis caused by the proton pump were found to be in common with antifungal activities. At the test concentration of 1 mM, hexanoic acid (C<sub>6</sub>) showed the lowest inhibition of about 30%, while undecanoic acid (C<sub>11</sub>) showed the strongest inhibition of over 90%. In addition, as seen with antifungal activity, the inhibitory activity of dodecanoic acid (C<sub>12</sub>) was suddenly reduced to less than 50%.

**Key words :** fatty acid, antifungal activity, antifungal mode of action, plasma membrane H<sup>+</sup>-ATPase, glucose-induced acidification, ATP hydrolysis

자연계에 널리 분포하고 있는 지방산은 인축 독성이 거의 없는 것으로 알려져 있으며, 이들의 염(비누)은 역사적으로 매우 일찍부터 세척제뿐 아니라 일반 소독제로서 사용되었다[5]. 지방산 중 undecenoic acid는 현대 의학에서 국부용 항진균제로 사용되고 있으며[1], 또한 유화제로서 개발된 글리세롤 지방산 에스테르인 monolaurin은 항균성 식품 보존제로 사용되고 있다[2].

현재 지방산의 항균 기작은 세포막 투과성 변화와 관련이 있는 것으로 제안되고 있으나[6, 11] 아직 자세히 규명되지 못하고 있다. 지금까지 알려진 지방산의 항균 작용은 penicillin과 같은 화학 요법제의 개발 이전에 주로 연구되었는데 이를 종합적으로 고찰한 Kabara의 보고[5]에 따르면, 지방산은 소수성 측쇄의 길이가 증가함에 따라 강화된 항균 활성을 나타낸다. 또한 국내에서 박 등[17, 18]은 식물 병원균에 대해 강한 항진균 활성을 나타내는 쇠비름 즙액으로부터 지방산 isobutyric acid(C<sub>4</sub>), butyric acid(C<sub>4</sub>), isovaleric acid(C<sub>5</sub>), valeric acid(C<sub>5</sub>), caproic acid(C<sub>6</sub>)를 분리하여 활성 성분으로 동정하였으며 이들의 활성은 Kabara의 보고[5]에서처럼 소수성 측쇄의 길이가 증가함 따라 높아지는 것으로 보고하였다.

한편, 진균의 plasma membrane H<sup>+</sup>-ATPase는 P-type의

필수 효소로서 세포내 수소 이온을 밖으로 배출함으로서 세포 내 pH를 조절하며 또한 영양분의 능동 수송을 위한 원동력인 proton 박구배를 형성시키는 것으로 알려져 있다[3, 13, 14]. 최근 Monk 등의 보고[15, 16]에 따르면, 위궤양 치료제인 omeprazol의 항진균 활성은 plasma membrane H<sup>+</sup>-ATPase의 저해에 기인하며, 나아가 진균의 plasma membrane H<sup>+</sup>-ATPase는 효과적인 항진균 target으로서 매우 유용할 것으로 전망하였다.

최근 C<sub>6</sub>~C<sub>12</sub> aliphatic(fatty) aldehyde의 항진균 활성과 작용 기구를 조사한 저자들의 연구 결과[8]에 따르면, aliphatic aldehyde들은 항진균 활성과 진균의 plasma membrane H<sup>+</sup>-ATPase에 대한 저해 활성에 있어서 서로 일치하는 소수성 측쇄의 의존 양상을 나타내었다. 이러한 배경 하에 본 연구에서는 궁극적으로 지방산의 항진균 기구를 규명하기 위해 중급(C<sub>6</sub>~C<sub>12</sub>) 포화 지방산의 항진균 활성과 진균의 plasma membrane H<sup>+</sup>-ATPase에 대한 저해 활성을 조사하였다.

### 재료 및 방법

#### 균주, 배지 및 배양

본 실험에 사용된 균주 *Saccharomyces cerevisiae* ATCC 7754는 American Type Culture Collection(Rockville, MD)로부터 분양받아 Sabouraud dextrose agar(SDA)(bactopep-

\*Corresponding author

Tel. 82-42-860-4332, Fax. 82-42-860-4595  
E-mail: changjin@mail.kribb.re.kr

tone 1%, dextrose 4%, bacto-agar 1.8%) 배지를 이용하여 30°C에서 계대 배양하였다. 또한 균주는 malt extract(ME)(BBL, Cockeysville, MD) 액체배지를 이용하여 30°C에서 24시간 동안 진탕 배양한 다음 신선 배지 상에서 5시간 더 배양하여 항진균 활성을 측정하기 위한 종균으로 사용하였다.

### 지방산 화합물 및 시약

본 실험에 사용된 포화 지방산 hexanoic acid(C<sub>6</sub>), heptanoic acid(C<sub>7</sub>), octanoic acid(C<sub>8</sub>), nonanoic acid(C<sub>9</sub>), decanoic acid(C<sub>10</sub>), undecanoic acid(C<sub>11</sub>), dodecanoic acid(C<sub>12</sub>)는 Sigma Chemical Co.(St. Louis, MO)로부터 구입한 다음 dimethylsulfoxide 용매를 이용하여 순차적으로 2배 회석하였다. 또한 malachite green hydrochloride, EDTA, dithiothreitol, sodium ATP, lyticase는 Sigma Chemical Co.로부터 구입하였다.

### MIC 및 MFC 측정

화합물의 항진균 활성을 이전에 묘사된 macrodilution broth법[9]에 준하여 결정하였다. 즉, 화합물의 회석액을 ME 액체배지로 10배 회석한 다음 그 0.3 ml을 종균(1×10<sup>5</sup> CFU/ml)이 포함된 ME 액체 배지 2.7 ml와 혼합하여 30°C에서 48시간 동안 정치 배양하였다. MIC(minimum inhibitory concentration)는 육안상 균 생육이 없는 화합물의 최저 농도로 결정하였다. MFC(minimum fungicidal concentration)는 MIC를 결정한 후 균 생육이 없는 각 시험관으로부터 30 µl를 취하여 새로운 YPD(yeast extract 0.5%, polypeptone 0.5%, dextrose 1.0%) 액체 배지 3 ml에 가한 다음 30°C에서 48시간 동안 정치 배양하여 균 생육이 회복되지 않은 화합물의 최저 농도로 결정하였다. 모든 항진균 시험은 3회 반복하였다.

### Glucose-induced acidification의 측정

Plasma membrane H<sup>+</sup>-ATPase의 medium acidification에 대한 화합물의 저해 활성은 Haworth 법[4]을 기본으로 하여 조사하였다. *Saccharomyces cerevisiae* 균주를 YPD 액체 배지에 접종한 후 30°C에서 16시간 동안 진탕 배양한 다음 증류수로 2번 씻고 다시 증류수에 5×10<sup>7</sup> cells/ml 농도로 혼탁하였다. 균 혼탁액 2.7 ml과 화합물 회석액 30 µl를 혼합하여 30°C 항온 수조에서 5분간 전 반응시킨 후 20% glucose 용액 0.3 ml을 가하여 medium acidification 을 유도한 다음 10분 후 반응액의 pH를 측정(pH meter; Orion, model 900A)하였다.

### Plasma membrane H<sup>+</sup>-ATPase의 분리

Plasma membrane H<sup>+</sup>-ATPase는 이전에 묘사된 방법[8]을 이용하여 microsome 상태로 분리하였다. 즉 *Saccharomyces cerevisiae*를 YPD 액체 배지에 접종하여 30°C에서 16시간 동안 진탕 배양한 후 sorbitol buffer(10% sorbitol, 20 mM Tris-HCl buffer, pH 7.0)로 두 번 씻은 다음 0.5 mM dithiothreitol과 lyticase를 포함하는 sorbitol buffer에 혼탁하여 30°C에서 4시간 동안 반응시켜 spheroplast를 만들었다. 그리고 이들을 초음파(Branson 450 Sonifer, 1/2 horn) 파쇄한 후 원심분리(3,000×g, 5 min)하여 상동액을 회수한 다음 53,000×g에서 1시간 동안 원심분리하였다. Serrano 법[12]에 근거하여 침전물을 20% glycerol, 0.1 mM EDTA, 0.5 mM dithiothreitol을 포함한 10 mM Tris-HCl buffer(pH 7.2)에 혼탁한 후 SW 25.1 rotor(Beckman Instruments, Inc., Fullerton, CA)를 이용하여 3시간 동안 discontinuous sucrose gradient(53.5%:43.5% = 1:2)법으로 원심분리(53,000×g)하였다. Plasma membrane H<sup>+</sup>-ATPase를 포함하는 microsome은 sucrose 용액의 농도 경계 부위에서 회수하였다. 단백질 농도는 Coomassie Plus Protein Assay 법(Pierce Co., Rockford, IL)으로 결정하였으며 bovine serum albumin을 표준 단백질로 사용하였다.

*myces cerevisiae*를 YPD 액체 배지에 접종하여 30°C에서 16시간 동안 진탕 배양한 후 sorbitol buffer(10% sorbitol, 20 mM Tris-HCl buffer, pH 7.0)로 두 번 씻은 다음 0.5 mM dithiothreitol과 lyticase를 포함하는 sorbitol buffer에 혼탁하여 30°C에서 4시간 동안 반응시켜 spheroplast를 만들었다. 그리고 이들을 초음파(Branson 450 Sonifer, 1/2 horn) 파쇄한 후 원심분리(3,000×g, 5 min)하여 상동액을 회수한 다음 53,000×g에서 1시간 동안 원심분리하였다. Serrano 법[12]에 근거하여 침전물을 20% glycerol, 0.1 mM EDTA, 0.5 mM dithiothreitol을 포함한 10 mM Tris-HCl buffer(pH 7.2)에 혼탁한 후 SW 25.1 rotor(Beckman Instruments, Inc., Fullerton, CA)를 이용하여 3시간 동안 discontinuous sucrose gradient(53.5%:43.5% = 1:2)법으로 원심분리(53,000×g)하였다. Plasma membrane H<sup>+</sup>-ATPase를 포함하는 microsome은 sucrose 용액의 농도 경계 부위에서 회수하였다. 단백질 농도는 Coomassie Plus Protein Assay 법(Pierce Co., Rockford, IL)으로 결정하였으며 bovine serum albumin을 표준 단백질로 사용하였다.

### ATP hydrolysis 측정

Plasma membrane H<sup>+</sup>-ATPase의 ATP hydrolysis에 대한 화합물의 저해 활성은 이전에 묘사된 방법[8]을 이용하여 조사하였다. 활성 microsome을 MET buffer(5 mM MgCl<sub>2</sub>, 1 mM EDTA, 50 mM Tris-HCl buffer)에 혼탁(13 µg protein/ml)하여 그 250 µl를 화합물 회석액 3 µl와 혼합하였다 이를 5분간 전 반응시킨 다음 12 mM ATP 용액 50 µl을 가하여 30°C에서 10분간 반응시킨 뒤 malachite green reagent법[7]으로 발색하여 660 nm에서 흡광도를 측정하였다.

### 결과 및 고찰

#### 항진균 활성

중급(C<sub>6</sub>~C<sub>12</sub>) 포화 지방산의 항진균 양상을 알아보기 위해 macrodilution broth 법[9]을 이용하여 *Saccharomyces cerevisiae*를 대상으로 minimum inhibitory concentration(MIC)과 minimum fungicidal concentration(MFC)를 측정하였다(Table 1). 그 결과 hexanoic acid(C<sub>6</sub>)부터 undecanoic acid(C<sub>11</sub>)까지 지방산의 정균 농도(MIC)는 400 µg/ml부터 25 µg/ml까지 지속적으로 감소하였으며 또한 이들의 실균 농도(MFC)도 1600 µg/ml 이상부터 50 µg/ml까지 감소하였다. 그러나 undecanoic acid 보다 단 하나의 탄소수가 더 많은 dodecanoic acid(C<sub>12</sub>)는 1,600 µg/ml(7.99 mM)의 고 농도에서도 정균 및 실균 활성을 나타내지 못하였다. 따라서 포화 지방산의 항진균 활성을 다른 보고[5, 17]에서도 지적된 것처럼 소수성 측쇄의 길이에 의존하여 또한 aliphatic aldehyde 연구[8]에서 나타난 바와 같이 최고 활

**Table 1.** Antifungal activity of fatty acids against *Saccharomyces cerevisiae*

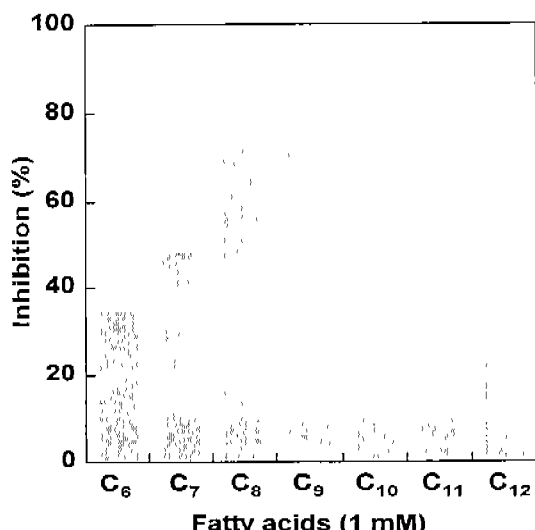
Fatty acid	MIC(μg/ml)	MFC(μg/ml)
Hexanoic acid(C <sub>6</sub> )	400	>1600
Heptanoic acid(C <sub>7</sub> )	200	1600
Octanoic acid(C <sub>8</sub> )	100	400
Nonanoic acid(C <sub>9</sub> )	100	200
Decanoic acid(C <sub>10</sub> )	50	100
Undecanoic acid(C <sub>11</sub> )	25	50
Dodecanoic acid(C <sub>12</sub> )	>1600	>1600

The antifungal activity of fatty acids was tested using the macrodilution broth method, as described in Materials and Methods.

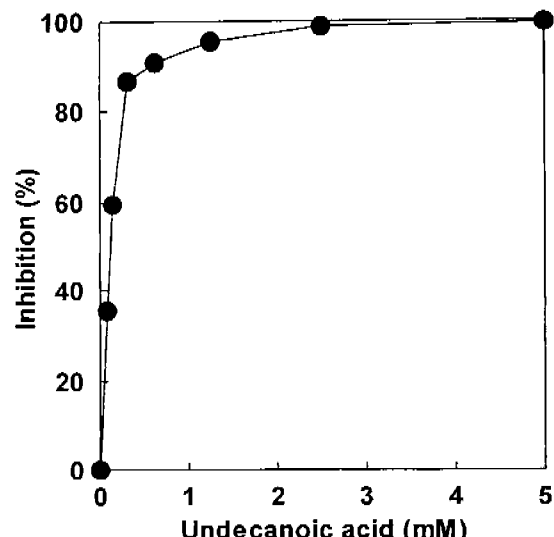
성 직후 갑자기 사라지는 즉 'cut off' 현상을 나타내는 것으로 판단된다.

#### Medium acidification에 대한 저해 활성

진균의 plasma membrane H<sup>+</sup>-ATPase에 대한 포화 지방산의 저해 효과를 알아보기 위해 glucose-induced acidification에 대한 저해 활성을 조사하였다. 그 결과 1 mM의 농도에서 hexanoic acid(C<sub>6</sub>)는 34.2%의 가장 낮은 저해 활성을 나타내었으며 undecanoic acid(C<sub>11</sub>)은 93.6%의 가장 강한 저해 활성을 나타내었고 dodecanoic acid(C<sub>12</sub>)는 32.6%의 저해 활성을 나타내었다(Fig. 1). 즉 medium acidification에 대한 지방산의 저해 활성은 항균 활성과 마찬가지로 소수성 측쇄의 길이와 함께 증가하여 undecanoic



**Fig. 1.** The inhibitory effect of fatty acids: hexanoic acid (C<sub>6</sub>), heptanoic acid (C<sub>7</sub>), octanoic acid (C<sub>8</sub>), nonanoic acid (C<sub>9</sub>), decaanoic acid (C<sub>10</sub>), undecanoic acid (C<sub>11</sub>), and dodecanoic acid (C<sub>12</sub>) to the medium acidification of *Saccharomyces cerevisiae*. Acidification was induced by glucose (final concentration 2%) and investigated checking external pH. The inhibition (%) was calculated as follows:  $(1 - [H^+]_{inhibitor}/[H^+]_{inhibitor\ free}) \times 100$ .



**Fig. 2.** The inhibitory activity of undecanoic acid to the medium acidification by the plasma membrane H<sup>+</sup>-ATPase of *Saccharomyces cerevisiae*.

The inhibition (%) was calculated as follows:  $(1 - [H^+]_{inhibitor}/[H^+]_{inhibitor\ free}) \times 100$ .

acid(C<sub>11</sub>)에서 최고를 나타낸 다음 dodecanoic acid(C<sub>12</sub>)에서는 갑자기 크게 감소하였다. 한편, 포화 지방산 중 가장 강한 저해 활성을 나타낸 undecanoic acid(C<sub>11</sub>)를 이용하여 농도에 따른 저해 활성을 측정하였다. 그 결과 undecanoic acid는 농도 의존적 저해 효과를 나타내었으며 0.16 mM (29.1 μg/ml)과 0.63 mM (116.4 μg/ml)의 농도에서 각각 50%와 90% 이상의 저해 활성을 나타내었다(Fig. 2). 이러한 저해 농도는 동일 조건에서 측정된 해당 aldehyde[8] 및 omeprazole[15]의 각 저해 농도인 1.25 mM, 0.63 mM과 비교해 볼 때 큰 차이가 없는 것으로 생각된다.

#### ATP hydrolysis에 대한 저해 활성

진균의 plasma membrane H<sup>+</sup>-ATPase에 대한 지방산의 저해 효과를 알아보기 위해 효소를 microsome 상으로 분리하여 ATP hydrolysis에 대한 저해 활성을 조사하였다. 그 결과 1 mM의 농도에서 hexanoic acid(C<sub>6</sub>)는 35.1%의 저해 활성을 나타내었으며 undecanoic acid(C<sub>11</sub>)와 dodecanoic acid(C<sub>12</sub>)는 각각 91.6%와 47.7%의 저해 활성을 나타내었다(Fig. 3). 즉 ATP hydrolysis에 대한 지방산의 저해 활성은 항균 활성과 마찬가지로 소수성 측쇄의 길이와 함께 증가하여 undecanoic acid(C<sub>11</sub>)에서 최고를 나타낸 다음 dodecanoic acid(C<sub>12</sub>)에서는 갑자기 크게 감소하였다. 한편, 조사된 지방산 중 가장 강한 저해 활성을 나타낸 undecanoic acid(C<sub>11</sub>)을 이용하여 농도에 따른 저해 활성을 측정하였다. 그 결과 undecanoic acid는 plasma membrane H<sup>+</sup>-ATPase의 ATP hydrolysis에 대해 농도 의존적 저해 효과를 나타내었으며 0.31 mM (58.2 μg/ml)과 1.25 mM

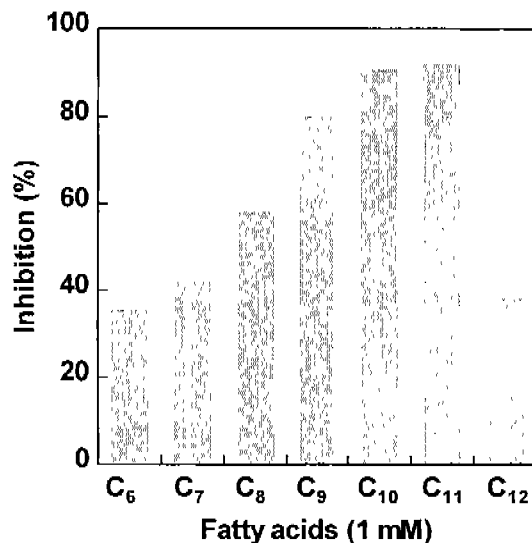


Fig. 3. The inhibitory effect of fatty acids: hexanoic acid (C<sub>6</sub>), heptanoic acid (C<sub>7</sub>), octanoic acid (C<sub>8</sub>), nonanoic acid (C<sub>9</sub>), decanoic acid (C<sub>10</sub>), undecanoic acid (C<sub>11</sub>), and dodecanoic acid (C<sub>12</sub>) to the ATP hydrolysis by the plasma membrane H<sup>+</sup>-ATPase of *Saccharomyces cerevisiae*.

The amount of enzyme (specific activity 8.9 μM/min/mg protein) was 0.029 units (M Pi/min), and the inhibition (%) was calculated as follows:  $[1-(OD_{660\text{ nm}}\text{inhibitor}/(OD_{660\text{ nm}}\text{inhibitor free})] \times 100$ .

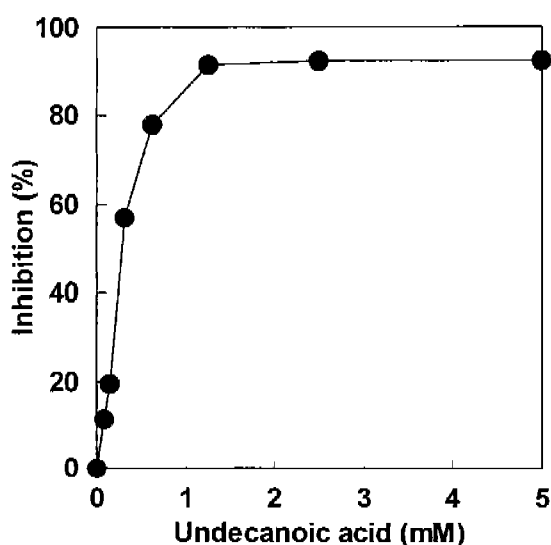


Fig. 4. The inhibitory activity of undecanoic acid to the ATP hydrolysis by the plasma membrane H<sup>+</sup>-ATPase of *Saccharomyces cerevisiae*.

The amount of enzyme (specific activity 8.9 μM/min/mg protein) was 0.029 units (M Pi/min), and the inhibition (%) was calculated as follows:  $[1-(OD_{660\text{ nm}}\text{inhibitor}/(OD_{660\text{ nm}}\text{inhibitor free})] \times 100$ .

(232.8 μg/ml)의 농도에서 각각 50%와 90% 이상의 저해 활성을 나타내었다(Fig. 4). 이러한 저해 활성은 omeprazole [15]의 저해 활성과 비교해 볼 때 큰 차이가 없는 것으로 생각되며, 해당 aldehyde[8]에 비해서는 8배 더 강한 것으로

로 판단된다.

결론적으로, 탄소수 6부터 11까지의 포화 지방산은 항진균 작용과 진균의 plasma membrane H<sup>+</sup>-ATPase에 대한 저해 작용에서 소수성 측쇄의 길이와 함께 증가하는 활성을 나타내었으며, 또한 탄소수가 12인 dodecanoic acid는 항진균 활성을 나타내지 못하였으며 그 저해 활성은 크게 감소하였다. 그런데, 천연물 polygodial과 plasma membrane H<sup>+</sup>-ATPase의 저해제로 알려진 diethylstilbestrol을 이용하여 항진균 활성과 plasma membrane H<sup>+</sup>-ATPase에 대한 저해 활성간의 관계를 조사한 전 연구 결과[10]에 따르면, 90% 이상의 최고 저해 활성 수준은 항진균 활성을 결정짓는 중요한 요소였다. 이 결과에 비추어 볼 때 plasma membrane H<sup>+</sup>-ATPase에 대한 중급(C<sub>6</sub>-C<sub>12</sub>) 포화 지방산의 저해 양상은 항진균 양상과 차이가 없는 것으로 생각된다. 따라서 지방산의 plasma membrane H<sup>+</sup>-ATPase에 대한 저해 효과는 이들의 항진균 기구로서 강하게 추측되며, 또한 이 저해는 막 전위에 영향을 주어 막 전위의 존성 세포 막 channel의 개폐 혼란을 야기할 수 있으므로 이는 현재 제안되고 있는 지방산의 항진균 기구 즉 막 투과성 변화[6, 11]를 설명할 수 있을 것으로 가정된다.

## 요 약

본 연구에서는 중급(C<sub>6</sub>~C<sub>12</sub>) 포화 지방산의 항진균 특성을 알아보기 위해 *Saccharomyces cerevisiae*를 대상으로 minimum inhibitory concentration(MIC)와 minimum fungicidal concentration(MFC)를 측정하였다. 그 결과 탄소수 6부터 11까지의 지방산은 소수성 측쇄의 길이와 함께 증가하는 항진균 활성을 나타내었으나 탄소수가 12인 지방산은 항진균 활성을 전혀 나타내지 못하였다. 한편 지방산의 항진균 기구와 관련하여 *Saccharomyces cerevisiae*의 plasma membrane H<sup>+</sup>-ATPase에 대한 저해 효과를 조사하였다. 그 결과 proton pump의 glucose-induced acidification과 ATP hydrolysis에 대한 지방산의 저해는 항진균 활성과 비슷한 양상을 나타내었다. 즉 1 mM의 조사 농도에서 hexanoic acid(C<sub>6</sub>)는 30% 수준의 가장 낮은 저해활성을 나타내었으며 undecanoic acid(C<sub>11</sub>)는 90% 이상의 가장 강한 저해 활성을 나타내었다. 또한 항진균 활성에서처럼 dodecanoic acid(C<sub>12</sub>)의 저해 활성은 갑자기 크게 감소하여 50% 미만의 낮은 저해 활성을 나타내었다.

## REFERENCES

- American hospital formulary service. 1998. Undecylenic acid and undecylenate salts, pp. 2898–2899. *AHFS 98 Drug Information II*. Med Watch, Rockville, Maryland.
- Bell, R. G. and M. DeLacy. 1987. The efficacy of nisin, sorbic acid, and monolaurin as preservatives in pasteurized

- cured meat products. *Food Microbiol.* **4**: 277–283.
3. Eddy, A. A. 1982. Mechanisms of solute transport in selected eukaryotic microorganisms. *Adv. Microb. Physiol.* **23**: 1–78.
  4. Haworth, R. S., E. J. Cragoe, Jr., and L. Fliegel. 1993. Amiloride and 5-(N-ethyl-N-isopropyl) amiloride inhibit medium acidification and glucose metabolism by the fission yeast *Schizosaccharomyces pombe*. *Biochim. Biophys. Acta* **1145**: 266–272.
  5. Kabara, J. J. 1993. Medium-chain fatty acids and esters, pp. 307–342. In P. M. Davidson and A. I. Branen (eds.), *Antimicrobials in Foods* (2nd). Marcel Dekker, Inc., New York.
  6. Kodicek, E. and A. N. Worden. 1945. Effect of unsaturated fatty acids on *Lactobacillus helviticus* and other Gram-positive microorganisms. *Biochem. J.* **39**: 78–84.
  7. Lanzeita, P. A., L. J. Alvarez, P. S. Reinach, and O. A. Candia. 1979. An improved assay for nanomole amounts of inorganic phosphate. *Anal. Biochem.* **100**: 95–97.
  8. Lee, J.-R., S.-H. Lee, I. Kubo, and S.-D. Hong. 1998. Antifungal activity of medium-chain ( $C_6$ - $C_{13}$ ) alkenals against, and their inhibitory effect on the plasma membrane  $H^+$ -ATPase of *Saccharomyces cerevisiae*. *J. Microbiol. Biotechnol.* **8**: 197–202.
  9. Lee, S.-H. and C.-J. Kim. 1999. Selective combination effect of anethole to the antifungal activities of miconazole and amphotericin B. *Yakhak Hoeji* **43**: 228–232.
  10. Lee, S.-H. and C.-J. Kim. 1998. Inhibitory activity of polygodial to the plasma membrane  $H^+$ -ATPase of *Saccharomyces cerevisiae*. *Proc. KSAM Fall Meeting*, pp. 89–98. Seoul, Korea.
  11. Lode, A. and T. A. Pedersen. 1970. Fatty acid induced leaking of organic compounds from *Boletus variegatus*. *Physiol. Plant* **23**: 715–727.
  12. Malpartida, F. and R. Serrano. 1981. Phosphorylated intermediate of the ATPase from the plasma membrane of yeast. *Eur. J. Biochem.* **116**(2): 413–417.
  13. Malpartida, F. and R. Serrano. 1981. Proton translocation catalysed by the purified yeast plasma membrane ATPase reconstituted in liposomes. *FEBS Lett.* **131**: 351–354.
  14. McCusker, J. H., D. S. Perlin, and J. E. Haber. 1987. Pleiotrophic plasma membrane ATPase mutations of *Saccharomyces cerevisiae*. *Mol. Cell. Biol.* **7**: 4082–4088.
  15. Monk, B. C., A. B. Mason, G. Abramochkin, J. E. Haber, D. Seto-Young, and D. S. Perlin. 1995. The yeast plasma membrane proton pumping ATPase is a viable antifungal target. I. Effects of the cysteine-modifying reagent omeprazole. *Biochim. Biophys. Acta* **1239**: 81–90.
  16. Monk, B. C., A. B. Mason, T. B. Kardos, and D. S. Perlin. 1995. Targeting the fungal plasma membrane proton pump. *Acta Biochim. Pol.* **42**(4): 481–496.
  17. Park, J. S., K. Kohmoto, and S. Nishimura. 1986. Antifungal properties of some short chain fatty acids against phytopathogenic fungi. *Kor. J. Plant Pathol.* **2**: 89–95.
  18. Park, J. S., S. Nishimura, S. Marumo, and M. Katayama. 1986. Isolation and identification of antifungal fatty acids from the extract of common purslane (*Portulaca oleracea* L.). *Kor. J. Plant Pathol.* **2**: 82–88.

(Received May 27, 1999)